

## 論文

# 溶鉄の窒素溶解度および窒素溶解度におよぼす VIa族元素の影響

石井不二夫\*・萬谷 志郎\*・不破 勇\*\*

## Solubility of Nitrogen in Liquid Iron and Iron Alloys Containing the Group VIa Elements

Fujio ISHII, Shiro BAN-YA, and Tasuku FUWA

## Synopsis:

The solubility of nitrogen in liquid iron was studied at temperature from 1580° to 1730°C by both the SIEVERTS' method and a sampling method. By improving the methods, the results obtained in the temperature range agreed with each other within the experimental errors. However, from the viewpoint of the temperature dependence of the solubility, the results obtained by the sampling method is more reliable on the solubility of nitrogen in liquid iron.

The results obtained in liquid iron by the sampling method is expressed as follows:

$$\log K (= [\%N]/\sqrt{P_{N_2}}) = -518/T - 1.063 \pm 0.0004$$

$$\Delta G^\circ = 237 + 4.85T \pm 0.002T \text{ (cal/g-atm).}$$

The study was extended to the iron alloys containing the group VIa elements at 1580°C by the sampling method. Though all elements of the group VIa were expected to decrease the solubility of nitrogen, oxygen showed the opposite effect on the solubility. The results obtained are expressed by  $\log f_N^0$  as follows:

$$\log f_N^0 = -0.12[\%O] < 0.12\%O, \log f_N^S = 0.007[\%S] < 4\%S$$

$$\log f_N^{Se} = 0.006[\%Se] < 4\%Se, \log f_N^{Te} = 0.070[\%Te] < 0.6\%Te.$$

## 1. 緒 言

鉄鋼中の窒素は鋼材の靱性や展延性を害するので、深絞り用や線材用等の鋼種には窒素を極力低減する努力をしている。他方、鋼中の窒素は鋼のオーステナイトを安定化し、焼入性を向上させ、合金元素として窒素を添加したステンレス鋼なども溶製されている。したがつて、溶鋼中の窒素におよぼす共存元素の影響を正確に把握することは重要であり、溶鉄および溶融鉄合金の窒素溶解度に関しては多くの研究がある。溶鉄の窒素溶解度は従来、SIEVERTS法または間接法により測定されてきたが、最近の研究結果を除くと、一般にSIEVERTS法による測定値<sup>1)~4)</sup>は間接法による値<sup>2)5)~9)</sup>より低値を示している。この原因は測定法に問題があり、また例えれば酸素のような微量溶解元素の影響を見逃したためと考えられる。

本研究は、まずSIEVERTS法と間接法で溶鉄の窒素溶解度を測定して両測定法の問題点を究明してそれぞれ改良し、さらにその間接法により溶鉄の窒素溶解度におよぼすVIa族元素の影響を測定したものである。

## 2. 実験方法

### 2.1 SIEVERTS法

実験装置：装置は著者らが先に報告<sup>10)</sup>した溶鉄の水素溶解度測定に用いたものと同一で、反応管、ガス定量装置、ガス精製装置、真空排気装置からなる。反応管は透明石英製で水冷二重壁になつておる、測定中は反応管出口の水温を35°±1°Cに保持するように冷却水の水量を調節して反応管壁の温度を一定に保つ。試料を入れたるつぼは、さらに石英製保護るつぼ（内径33mm、外径37mm、高さ70mm）に入れ、その間にMgO粒（20~30mesh）またはAl<sub>2</sub>O<sub>3</sub>粒（65mesh）で充填し、BeO製リング、Al<sub>2</sub>O<sub>3</sub>製円板を用いて反応管内に設置する。測定時における反応管を含む密閉部の容積をhot volumeといい、このhot volumeの大きさの影響を検討するためには、同一構造で内容積の異なる反応管3種を用いた。試料溶解には8kVA真空管式高周波炉を用い、温度測定には光高温計を使用した。

使用材料：溶解試料として鉄には電解鉄を真空溶解し

昭和49年4月日本会議演大会にて発表 昭和56年8月6日受付 (Received Aug. 6, 1981)

\* 東北大学工学部 工博 (Faculty of Engineering, Tohoku University, Aza-Aoba Aramaki Sendai 980)

\*\* 東北大学工学部(現:新日本製鉄(株)) (Faculty of Engineering, Tohoku University, Now Nippon Steel Corp.)

て鍛造し、径 15 mm に機械仕上げした丸棒約 50 g を、また窒素と溶融 Ni による hot volume 測定には電解 Ni 約 50 g を使用した。溶解用るつぼには市販の Al<sub>2</sub>O<sub>3</sub> るつぼ (SSA-S, 内径 17 mm, 深さ 47 mm) および実験室で作製した CaO と MgO るつぼ (内径 16 mm, 深さ 47 mm) を用いた。また、測定用ガスとして、窒素には市販のガスを、hot volume 測定用不活性ガスには市販の Ar と He の 2 種類を使用し、水素は電解水素を用い、それぞれ十分精製して使用した。

実験操作：試料を反応管内に設置し、約 2 h 水素 (約 90 ml/min) 気流中で溶解した後、約 20 min 反応管内を約 10<sup>-4</sup> mmHg の真空にする。その後、一定量の窒素を反応管に導入すると、通常 20~25 min 後に窒素が溶鉄に溶解して窒素の容積は安定した一定値を示すので、この値をその温度における窒素の容積変化  $V_i$  (hot volume を含む) として測定する。この  $V_i$  測定には最も低い実験温度より順次温度をあげて各温度で測定してから、最初の実験温度まで各温度で再び  $V_i$  を測定して一連の測定値を確認した。引き続き反応管内を真空に排気し、不活性ガスを導入して同一方法により hot volume  $V$  を測定する。Ar を用いた  $V$  を  $V_{Ar}$  とすると、同一温度における  $V_i$  と  $V_{Ar}$  との差、 $V_i - V_{Ar} = V_{i-Ar}$  から溶鉄の吸收窒素量が求められる。

## 2・2 間接法

実験装置：装置は反応管、ガス精製装置、流量計による。窒素流量は 150 ml/min で窒素中の微量酸素を次の方法で除去した。すなわち、電解水素約 7 ml/min を窒素に添加し、350°C の Pd アスペスト、濃硫酸、P<sub>2</sub>O<sub>5</sub> を通し、過剰の水素は 500°C の CuO に通した後 P<sub>2</sub>O<sub>5</sub> で脱水除去した。反応管は不透明石英管 (内径 36 mm, 長さ 400 mm) であり、試料溶解には水銀間隙式高周波炉を用い、温度測定には光高温計を用いた。

使用材料：溶解用鉄試料には SIEVERTS 法の場合と同種試料約 40 g を、るつぼには市販の Al<sub>2</sub>O<sub>3</sub> るつぼ (SSA-S, 内径 17 mm, 深さ 47 mm) を使用した。また Fe-N-O 系には実験室で作製した CaO と MgO るつぼを併用した。Fe-N-j 系の酸素添加には Fe<sub>2</sub>O<sub>3</sub>、硫黄には実験室で作製した硫化鉄粉、Se と Te には市販の純金属をそれぞれ使用した。

実験操作：るつぼに入れた試料を反応管内に設置し、100 ml/min の水素気流中で約 2 h 溶解した後、水素を窒素に切り換えて一定温度に保ちながら窒素と溶鉄を平衡させる。平衡到達時間は 2 h で十分であるが、安全を期して 4 h とした。また 3 元系の平衡時間は 2~12 h にわたり検討した。平衡到達後、溶融試料の一部を内径 4

mm の不透明石英管で吸引採取、水中急冷した。

窒素および合金元素の定量：採取試料中の窒素定量には酸溶解水蒸気蒸留<sup>11)</sup>-比色法を用い、分析の相対誤差は窒素量として ±0.0007% 以下であつた。また酸素の定量には真空溶融-ミクロオルザット法、硫黄は重量法、Se と Te には容量法をそれぞれ採用した。

## 3. 溶鉄の窒素溶解度測定法の検討

### 3・1 SIEVERTS 法の検討

本法では容積既知の反応系におけるガス量の容積変化または圧力変化を測定する。この場合、密閉反応管内には室温から溶融金属温度にわたる温度勾配が存在するので、hot volume を正確に測定することが本法の測定精度をあげる最も重要な点である。この hot volume 測定用ガスには溶解度を測定するガスの熱伝導度に近い熱伝導度をもつガスを用いるが、両者の熱伝導度の差に起因する誤差はさけられず、また蒸発金属または反応管内壁に蒸着した金属のガス吸着による誤差も考慮する必要がある。それ故、これらの問題点を検討するため 2, 3 の実験を行つた。

(1) 溶鉄中の酸素は界面活性元素として窒素吸収<sup>12)</sup><sup>13)</sup> や脱窒素<sup>14)</sup> の速度および窒素溶解度に影響を与えるので、まず、るつぼ材と溶鉄の反応による溶鉄中の酸素を検討した。溶鉄の窒素吸収を 5 h 連続測定し、Ar 中で凝固させた試料中の酸素定量結果<sup>11)</sup>を Table 1 に示す。CaO と Al<sub>2</sub>O<sub>3</sub> るつぼで溶解した試料中の酸素は約 10 ppm を示すが、MgO るつぼでは約 100 ppm も溶解し、しかも窒素吸収量が漸次増加する傾向を示した。そのため水素還元時間と溶鉄に残存する酸素について検討した結果<sup>15)</sup>、Fig. 1 のように MgO るつぼでは 2 h で酸素が 20~30 ppm まで除去されている。しかし Table 1 に示すように<sup>11)</sup>、その後 5 h 窒素吸収測定すると、溶鉄中の酸素は 100 ppm に増加している。この増加した酸素が MgO との反応、または Ar および窒素

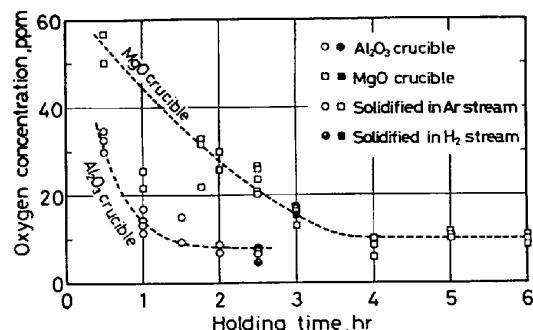


Fig. 1. Change of the concentration of oxygen in liquid iron under the stream of hydrogen at 1600°C by SIEVERTS' method.

Table 1. Solubility of nitrogen in liquid iron at 1610°C using reaction chamber No. 1.

Heat No.	Crucible	Reduction time, h	$V_i - V_{Ar}$	[N]	N in deposition		[O]
			ml	ppm	ml	ppm	ppm
*SM-N-19	CaO	2.0	17.8 <sub>8</sub>	452	—	—	11 9
*SM-N-20	"	2.0	18.2 <sub>4</sub>	459	—	—	11 10
*SM-N-22	Al <sub>2</sub> O <sub>3</sub>	2.0	18.8 <sub>5</sub>	460	—	—	10 10
SM-N-53	"	2.0	17.3 <sub>7</sub>	442	0.08 <sub>8</sub>	1.8	16 18
SM-N-55	"	2.0	18.1 <sub>6</sub>	461	0.05 <sub>9</sub>	1.2	20
SM-N-113	"	2.0	18.3 <sub>8</sub>	463	0.08 <sub>9</sub>	2.2	7 10 9
SM-N-114	"	2.0	18.1 <sub>8</sub>	456	0.08 <sub>1</sub>	2.0	12 9 10
*SM-N-16	MgO	2.0	18.1 <sub>0</sub> ~18.8 <sub>5</sub>	458~477	—	—	92 129 111
*SM-N-17	"	2.0	17.3 <sub>0</sub> ~18.7 <sub>4</sub>	447~484	—	—	108 100
SM-N-54	"	2.0	18.1 <sub>7</sub> ~19.3 <sub>3</sub>	463~493	0.07 <sub>4</sub>	1.9	95 100 102
SM-N-56	"	2.0	17.6 <sub>3</sub> ~19.0 <sub>6</sub>	447~483	0.05 <sub>9</sub>	1.5	95 106
SM-N-116	"	3.0	17.8 <sub>1</sub>	464	0.29 <sub>2</sub>	7.6	68 55
SM-N-117	"	3.0	17.6 <sub>4</sub>	453	0.11 <sub>3</sub>	2.9	72 66
SM-N-115	"	6.0	17.7 <sub>8</sub>	455	0.08 <sub>9</sub>	2.3	46 49 36
SM-N-123	"	6.0	17.8 <sub>8</sub>	458	0.09 <sub>3</sub>	2.4	48 40 39

\* Ref. 11)

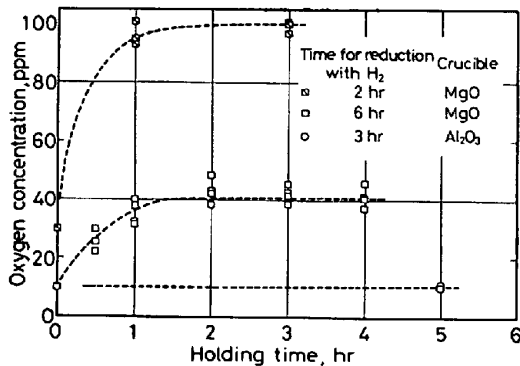


Fig. 2. Change of the concentration of oxygen in liquid iron under argon at 1600°C by SIEVERTS' method.

中の微量酸素によるものかを検討した。まず溶鉄を 2 h と 6 h 水素還元した後、hot volume 測定と同様、一定量の Ar を導入して 1600°C に一定時間保つた。Fig. 2 に示すように、これらの試料中の酸素は Ar には関係なく、初期酸素濃度の高い方がより増加している。次に MgO るつばを用い、2, 3, 6 h それぞれ水素還元した溶鉄の窒素吸収を 5 h 測定した後、凝固試料中の酸素を定量した<sup>15)</sup>。窒素吸収測定した試料中の酸素は、Table 1 に示すように、Ar 中で MgO からの溶解酸素と同程度の濃度を示し、3 h 以上水素還元した場合には、窒素吸収量が一定値を示した。

(2) SIEVERTS 法では金属を溶融状態で長時間保持し、また真空排気するので反応管内に金属が蒸着する。この蒸着物が窒素吸着すると、その窒素は  $V_{i-Ar}$  に含まれ誤差となるので、蒸着物中の窒素を検討した。すなわち、(1)で溶鉄の窒素吸収を 5 h 測定した後、Ar 中で試料を冷却して試料などを取り出し、直ちに反応管の枝管を切断して反応管全体を HCl 水溶液約 2 l 中に浸漬して蒸着物を溶解し、この溶液中の窒素を定量した。溶鉄 50 g の窒素吸収量は 18~19 ml であり、定量された窒素は Table 1 に示すように、0.08~0.10 ml であ

るので、蒸着物による窒素吸収は無視し得るものと考えられる。

本研究では測定中、30~60 min 真空に保持し、引き続 5~6 h 測定すると溶鉄の蒸発減量は 0.5~1.5 g になるので試料重量を補正した。この場合、実験前後の試料重量の差から、真空中で溶解した単位時間当たりの平均蒸発量を算出し、窒素吸収測定時の試料重量を求めた。補正重量に対する装入と最終試料重量の割合は窒素量として ±0.0009% 以下である。

(3) 溶鉄の窒素吸収には hot volume 測定用ガスとして、窒素の熱伝導度 ( $5.45 \times 10^{-5} \text{ cal/cm}\cdot\text{s}\cdot\text{deg}$ )<sup>17)</sup> に近い熱伝導度をもつ Ar ( $3.88 \times 10^{-5} \text{ cal/cm}\cdot\text{s}\cdot\text{deg}$ )<sup>17)</sup> を通常用いる。それ故 Ar と窒素の熱伝導度の差がどの程度 hot volume 測定に影響するかを検討するため、He ( $34.3 \times 10^{-5} \text{ cal/cm}\cdot\text{s}\cdot\text{deg}$ )<sup>17)</sup> と Ar を用い、形状が類似する反応管 No. 1 ( $V_{Ar}$ : 70 ml at NTP), No. 2 ( $V_{Ar}$ : 120 ml at NTP), No. 3 ( $V_{Ar}$ : 150 ml at NTP) で hot volume を測定した。反応管内の試料などの条件を溶鉄の窒素吸収測定の場合と同一にして測定した結果、Table 2 に示すように熱伝導度が大きい He の hot volume  $V_{He}$  は  $V_{Ar}$  より常に大きく、その差  $\Delta V_{He-Ar}$  は高温ほどまた dead space が大きいほど大きい。したがつて、hot volume 測定には窒素の熱伝導度に近い熱伝導度をもつガスを用い、反応管も小さい方が望ましい。次に 3 種類の反応管を用いて、溶鉄の窒素溶解度を測定した結果を Table 3 に示す。すなわち、hot volume が大きくなるに伴い、また高温になるに従つて、窒素溶解度は低く定量されている。

(4) 次に窒素と Ar の熱伝導度の差による誤差を検討した。従来、窒素をほとんど吸収しないと言われている Ni を用いて、窒素と Ar による hot volume を測定した結果を Table 4 に比較する。ちなみに、溶融 Ni の窒素溶解度を  $P_{N_2}=1 \text{ atm}$ , 1580°C で間接法により測

Table 2. Hot volume with argon and helium.

Reaction chamber	Fe wt., g		1580°C			1610°C			1670°C		
	Iainitinal	Final	$V_{Ar}$	$V_{He}$	$\Delta V_{He-Ar}$	$V_{Ar}$	$V_{He}$	$\Delta V_{He-Ar}$	$V_{Ar}$	$V_{He}$	$\Delta V_{He-Ar}$
No. 1	50.023	49.058	—	—	—	40.55	41.50	0.95	40.05	41.00	0.95
No. 1	50.075	49.143	—	—	—	41.40	42.36	0.96	40.98	41.99	1.01
No. 2	50.090	49.391	68.45	—	—	68.00	—	—	66.90	—	—
No. 3	50.004	49.414	87.15	89.00	1.85	86.50	88.65	2.15	85.35*	88.15*	2.80
No. 3	50.004	49.351	85.74	87.56	1.82	85.10	87.15	2.05	83.91*	86.69*	2.78

 $V$  : ml at N.T.P., \* : at 1665°C

Table 3. Solubility of nitrogen in liquid iron by SIEVERTS' method.

Reaction chamber	1580°C		1610°C		1670°C		1735°C	
	[%N]	(ml/50g)	[%N]	(ml/50g)	[%N]	(ml/50g)	[%N]	(ml/50g)
No. 1	—	—	0.0459 ±0.0007	18.36 ±0.28	0.0466 ±0.0009	18.64 ±0.30	0.0473 ±0.0007	18.92 ±0.28
No. 2	0.0450 ±0.0005	18.00 ±0.20	0.0454 ±0.0006	18.16 ±0.24	0.0461 <sup>a</sup> ±0.0006	18.44 ±0.24	0.0469 <sup>b</sup> ±0.0005	18.76 ±0.20
No. 3	0.0449 ±0.0003	17.96 ±0.12	0.0453 ±0.0004	18.12 ±0.16	0.0458 <sup>a</sup> ±0.0004	18.32 ±0.16	0.0468 <sup>b</sup> ±0.0002	18.60 ±0.08

a : at 1650°C, b : at 1740°C

Table 4. Hot volume  $V_{N_2}^{NI}$  and  $V_{Ar}^{NI}$ , nitrogen in liquid nickel.

a) Reaction chamber No. 1

Heat No.	1610°C				1670°C				1735°C			
	$V_{N_2}^{NI}$	$V_{Ar}^{NI}$	$\Delta V_{N_2-Ar}^{NI}$	[%N]	$V_{N_2}^{NI}$	$V_{Ar}^{NI}$	$\Delta V_{N_2-Ar}^{NI}$	[%N]	$V_{N_2}^{NI}$	$V_{Ar}^{NI}$	$\Delta V_{N_2-Ar}^{NI}$	[%N]
1-1	40.39	40.25	0.14	0.0004	39.93	39.79	0.14	0.0004	—	—	—	—
1-2	41.50	40.95	0.55	0.0014	41.14	40.50	0.64	0.0016	—	—	—	—
1-3	42.04	41.08	0.96	0.0024	41.58	40.61	0.97	0.0025	41.26	40.34	0.92	0.0023
1-6	44.65	44.04	0.61	0.0015	44.37	43.81	0.56	0.0014	43.90	43.39	0.51	0.0013
1-7	42.58	42.07	0.51	0.0013	42.12	41.29	0.83	0.0021	41.66	40.83	0.83	0.0021

b) Reaction chamber No. 3

Heat No.	1580°C				1665°C				1740°C			
	$V_{N_2}^{NI}$	$V_{Ar}^{NI}$	$\Delta V_{N_2-Ar}^{NI}$	[%N]	$V_{N_2}^{NI}$	$V_{Ar}^{NI}$	$\Delta V_{N_2-Ar}^{NI}$	[%N]	$V_{N_2}^{NI}$	$V_{Ar}^{NI}$	$\Delta V_{N_2-Ar}^{NI}$	[%N]
3-2	87.06	86.87	0.19	0.0005	86.23	85.54	0.69	0.0017	—	—	—	—
3-3	86.97	88.83	0.14	0.0004	86.16	85.96	0.14	0.0004	—	—	—	—
3-5	87.13	66.76	0.37	0.0009	85.74	85.28	0.46	0.0012	84.26	83.80	0.46	0.0012
3-7	89.61	89.42	0.19	0.0005	88.21	88.03	0.18	0.0005	86.23	86.44	0.19	0.0005

V : ml at N.T.P.

定した結果は 0.0015%N であった。

Table 4 でも hot volume  $V_{N_2}^{NI}$  は  $V_{Ar}^{NI}$  より常に大きいが、その差  $\Delta V_{N_2-Ar}^{NI}$  は  $\Delta V_{He-Ar}$  のような傾向は認められない。これは Ni の窒素溶解度が皆無でないためで、 $\Delta V_{N_2-Ar}^{NI}$  をすべて窒素溶解度とみなすと Table 4 のとおりである。これらの値は本法の測定精度の限界をこえるため、再現性は良くないが、反応管 No.1 では間接法による値に大体一致した結果が得られた。しかし反応管 No.3 による結果は低値を示す。これは溶融 Ni の窒素吸収量が hot volume  $V_{Ar}=85 \sim 90$  ml に比較して十分無視し得るほど少ないため、また、このことは Table 3 の溶鉄の窒素溶解度測定結果において、hot volume が大きくなるほど測定値の相対誤差が見掛け上小さく認められたことと一致する。

(5) 上述の検討では試料約 50 g 一定にして測定したが、hot volume 測定にあたり試料重量の大小による熱容量の差が窒素溶解度に影響する可能性も考えられ

Table 5. Effect of weight of liquid iron on the solubility of nitrogen in liquid iron using reaction chamber No. 1.

a)

Heat No.	Fe wt., g	[%N]		
		1610°C	1672°C	1735°C
SM-N-10	25	0.0469	0.0475	0.0481
SM-N-11	75	0.0459	0.0466	0.0477

b)

Heat No.	Fe wt., g	[%N]		
		1610°C	1672°C	1735°C
SM-N-2	50	0.0452	0.0457	0.0468
SM-N-4	50	0.0469	0.0473	0.0479
SM-N-6	50	0.0461	0.0466	0.0473
SM-N-7	50	0.0468	0.0476	0.0486
SM-N-9	50	0.0451	0.0457	0.0464
SM-N-12	50	0.0461	0.0467	0.0473
SM-N-18	50	0.0459	0.0466	0.0478
SM-N-19	50	0.0452	—	—
SM-N-21	50	0.0460	0.0463	0.0463
Mean value $\pm \sigma$		0.0459 $\pm 0.0007$	0.0466 $\pm 0.0009$	0.0473 $\pm 0.0007$

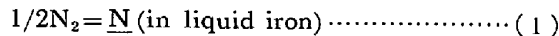
る。それ故、反応管 No. 1 を用い、鉄試料 25 g と 75 g について窒素溶解度を測定した。Table 5 に示すように、試料 25 g では 75 g の場合より窒素溶解度はわずかに大きいが、いずれも数多い 50 g の測定値の偏差内にあるので、反応管 No. 1 を用いる限り試料 25~75 g の間には影響が認められない。

### 3.2 間接法の検討

従来、溶鉄の窒素溶解度が SIEVERTS の法則に従わないという報告<sup>7,32)</sup>があるので、まず N<sub>2</sub>-Ar 混合ガス中の窒素定量法を検討<sup>19)</sup>し、P<sub>N<sub>2</sub></sub> を変えて溶鉄の窒素溶解度を測定した。その結果、P<sub>N<sub>2</sub></sub> 0.04~1.0 atm の範囲で測定した溶鉄の窒素溶解度は SIEVERTS 則に従う。また P<sub>N<sub>2</sub></sub> 0.044, 0.409, 1.0 atm で測定した試料中の酸素はいずれも約 10 ppm を示した。SIEVERTS 則に従わないという報告は全て間接法による研究であり、その理由としては凝固試料中の窒素定量法と混合ガス中の窒素定量法<sup>8)</sup>に欠点が認められるが、さらに使用するガス中の微量酸素の除去が不十分なためと考えられる。

## 4. 溶鉄および溶融鉄合金の窒素溶解度

窒素が窒化物を生成せずに溶鉄に溶解する反応式は(1)式で示され、また溶鉄については SIEVERTS の法則が成立するので、溶鉄中窒素の無限希薄溶液に窒素の活量の基準をとれば、平衡定数 K は(2)式で示される。



$$K = a_N / \sqrt{P_{N_2}} = [\%N] / \sqrt{P_{N_2}} \quad (2)$$

また溶融合金については次のように表される。

$$K = a_N / \sqrt{P_{N_2}} = f_N \cdot [\%N'] / \sqrt{P_{N_2}}$$

$$= f_N^j \cdot [\%N'] / \sqrt{P_{N_2}} \quad (3)$$

$$K' = [\%N'] / \sqrt{P_{N_2}} \quad (4)$$

ここで [%N'] は合金系の窒素溶解度、f<sub>N</sub><sup>j</sup> は窒素の活量係数におよぼす j 成分の影響であり、次式で表される。

$$\log f_N^j = \log K - \log K' = \log [\%N] - \log [\%N'] \quad (5)$$

### 4.1 溶鉄の窒素溶解度

SIEVERTS 法と間接法による測定結果を Table 5, Table 6 および Fig. 3 にそれぞれ示す。また log K と 1/T の関係を求めると次式のようになる。

$$\log K = -400/T - 1.126 \pm 0.0006$$

$$\Delta G^\circ = 1830 + 5.17T \pm 0.003T$$

(SIEVERTS' method)

$$\log K = -518/T - 1.063 \pm 0.0004$$

$$\Delta G^\circ = 2370 + 4.85T \pm 0.002T$$

(Sampling method)

両測定法の結果は実験誤差の範囲でよく一致してお

Table 6. Solubility of nitrogen in liquid iron by sampling method.

Heat No.	1580°C		1630°C		1680°C		1730°C	
	[%N]	Heat No. [‰N]	[%N]	Heat No. [‰N]	[%N]	Heat No. [‰N]	[%N]	
A N 4	0.0450	A N 7	0.0463	A N 9	0.0465	A N 10	0.0476	
A N 5	0.0455	A N 8	0.0461	A N 13	0.0466	A N 14	0.0485	
A N 6	0.0460	A N 12	0.0472	A N 18	0.0478	A N 19	0.0473	
A N 11	0.0454	A N 17	0.0460	A N 20	0.0471	—	—	
A N 15	0.0455	—	—	—	—	—	—	
A N 16	0.0451	—	—	—	—	—	—	
Mean value $\pm \sigma$	0.0454 $\pm 0.0004$		0.0464 $\pm 0.0005$		0.0470 $\pm 0.0005$		0.0476 $\pm 0.0005$	

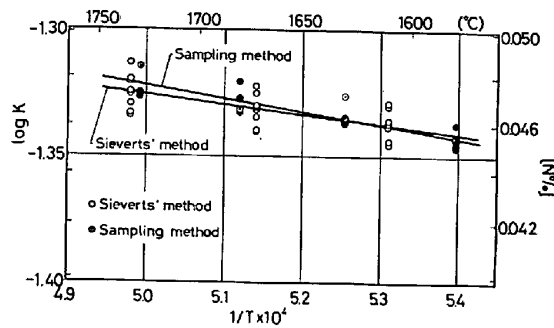


Fig. 3. Solubility of nitrogen in liquid iron under an atmospheric pressure.

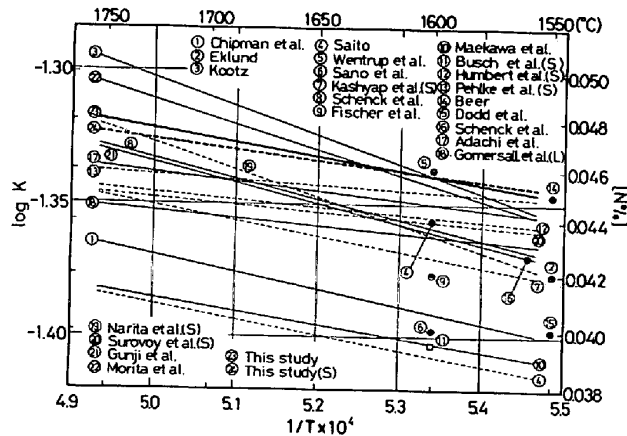


Fig. 4. Solubility of nitrogen in liquid iron by SIEVERTS' method (S) (---, □) and sampling method (—, ○).

り、1600°C における窒素溶解度は SIEVERTS 法では 0.045‰N、間接法では 0.045‰N である。しかしながら、hot volume をできるだけ小さくして測定した SIEVERTS 法による結果は間接法の結果より温度依存性がわずかに小さい。これは前述の検討結果と同じ傾向である。したがつて、測定した温度範囲でわずかではあるが、その差が認められることを考慮すると間接法による測定結果が信頼できるものと考える。

溶鉄の窒素溶解度に関する既往の主な研究結果を Table 7 に総括し、Fig. 4 に比較する。SIEVERTS 法では水冷二重壁反応管を用い、Ar で hot volume を測定し

Table 7. Comparison of experimental results.

## a) SIEVERTS' method

Ref.	Investigator	Year	Experimental conditions						log K Temp. dependency	[%N] at 1600°C
			Sample Wt., g	Heating	Crucible	Reaction tube	Hot volume	$P_{N_2}$ , mmHg		
20)	SIEVERTS & ZAPP	1935	50	Induction	Al <sub>2</sub> O <sub>3</sub>	Silica	$V_{N_2}^1$ 55ml at 1600°C	760	1540	0.031 (1540°C)
1)	VAUHAN & CHIPMAN	1939	75	"	Al <sub>2</sub> O <sub>3</sub>	Silica	$V_{N_2}^1$ 55ml at 1600°C	760	1600 ~ 1660	0.041
21), 22)	KARNAUTHOV & MOROZOV	1949	50	"	MgO	Silica	$V_{N_2}^1$ 55ml at 1600°C	760	1530 ~ 1750	-350/T - 1.092
2)	SATO	1958	100 ~ 200	"	Al <sub>2</sub> O <sub>3</sub>	Pythagoras, Water cooling	$V_{Ar}^1$ 95 ~ 130ml	50 ~ 760	578/T - 1.099	0.0321
3)	KASHYAP & PARLEE	1960	"	"	V <sub>2</sub> O <sub>5</sub>	Vycor, Water cooling	$V_{He}^1$ 60ml	760	1540 ~ 1600	-581/T - 1.06
4)	BUSCH & DODD	1960	"	"	V <sub>2</sub> O <sub>5</sub>	Vycor, Water cooling	$V_{Ar}^1$ 60 ~ 70ml	760	1540 ~ 1700	-262/T - 1.215
23)	HUMBERT & ELLIOTT	1960	16 ~ 103	"	"	Vycor, Water cooling	$V_{Ar}^1$ 55ml	76 ~ 760	1530 ~ 1775	-188/T - 1.245
24)	PEHLKE & ELLIOTT	1960	100	"	"	Vycor, Water cooling	$V_{Ar}^1$ 55ml	760	1530 ~ 1775	-216/T - 1.200
25)	TURNOCK & PEHLKE	1966	100	"	"	Vycor, Water cooling	$V_{Ar}^1$ 62 ~ 65ml	140 ~ 320	1550 ~ 1700	-1026/T - 0.8141
26)	NARTA & MAKINO	1968	24 ~ 68	"	"	Vycor, Water cooling	$V_{Ar}^1$ 62 ~ 65ml	50 ~ 760	1530 ~ 1750	-260/T - 1.218
27)	SUROVY et al.	1971	20 ~ 50	"	CaO, Al <sub>2</sub> O <sub>3</sub>	Silica, Water cooling	$V_{Ar}^1$ 35ml at 1600°C	760	1600 ~ 1735	0.0335
	This study	1964	25 ~ 75, 50	"	CaO, Al <sub>2</sub> O <sub>3</sub>	Silica, Water cooling	$V_{Ar}^1$ 40 ~ 45ml	760	1610 ~ 1735	0.0458

## b) Sampling method

Ref.	Investigator	Year	Experimental conditions						$P_{N_2}$ , mmHg	Temp. range °C	log K Temp. dependency	[%N] at 1600°C
			Sample wt., g	Heating	Crucible	Sampling	Analysis					
28)	CHIPMAN & MURPHY	1935	49 ~ 101	Induction	Al <sub>2</sub> O <sub>3</sub>	Vacuum fusion	Kjeldahl, N.T.	735 ~ 743	1540 ~ 1750	-781/T	-0.98	0.040
29)	EKLUND	1939	"	Induction	"	Vacuum fusion	"	760	1550 ~ 1700	"	"	0.042 (1550°C)
30)	BRICK & CREEVY	1940	"	Kryptol f.	"	"	"	300 ~ 760	1560 ~ 1750	-1.083/T	-0.761	0.038 (1580°C)
5)	KOORT	1941	50	Induction	MgO	"	"	760	1550 ~ 1750	"	"	0.046
2)	SARTO	1949	600	Tammann f.	Al <sub>2</sub> O <sub>3</sub>	Silica tube, Water quenching	Kjeldahl, P.	760	1600 ~ 1700	-815/T	-0.819	0.044
6)	WENTRUP & REIF	1949	40	Induction	Al <sub>2</sub> O <sub>3</sub>	Silica tube, Water quenching	Kjeldahl, N.T.	160 ~ 760	1600	-2980/T	+0.23	0.044
7)	KASAMATSU & MATOBA	1957	25 ~ 30	"	"	"	"	760	1550 ~ 1700	-767/T	-0.95	0.044
31)	SANO & MINOWA	1958	"	Tammann f.	MgO	Silica tube, Water quenching	Kjeldahl	100 ~ 760	1600	-50 ~ 760	1600	0.044
9)	FEDOROV & SAMARIN	1959	70	Tammann f.	"	Silica tube, Water quenching	Kjeldahl	95 ~ 760	1600 ~ 1700	-500/T	-1.136	0.042
8)	SCHENCK et al.	1960	4 600 ~ 4 900	Induction	Al <sub>2</sub> O <sub>3</sub>	Silica tube, Water quenching	Kjeldahl, N.T.	760	1550	-	-	0.045
32)	FISCHER & HOFFMANN	1960	125	"	MgO	Taylor sampler	Kjeldahl	760	1550	-	-	0.040 (1550°C)
33)	MAEKAWA & NAKAGAWA	1960	800	"	Al <sub>2</sub> O <sub>3</sub>	Silica tube, Water quenching	Kjeldahl	30 ~ 3040	1560	-	-	0.0426 (1560°C)
34)	BEER	1961	50	"	MgO	Silica tube, Water quenching	Kjeldahl	760	1550	-	-	0.040 (1550°C)
35)	DODD & GOKGEN	1961	5 000	"	Al <sub>2</sub> O <sub>3</sub>	Silica tube, Water quenching	Kjeldahl	30 ~ 714	1600 ~ 1700	-352/T	-1.162	0.0447
36)	SCHENCK et al.	1962	100	"	Al <sub>2</sub> O <sub>3</sub>	Piston quenching	Kjeldahl, N.T.	760	1530 ~ 1780	-285/T	-1.21	0.0436
37)	ADACHI, MORITA & WADA	1966	1	"	Al <sub>2</sub> O <sub>3</sub>	Silica tube, Water quenching	Kjeldahl, N.T.	760	1600 ~ 1700	-790/T	-0.953	0.0422
38)	GOMERSALL et al.	1968	100	"	"	Silica tube, Water quenching	Kjeldahl	760	1550 ~ 1730	-769/T	-0.950	0.0436
39)	MORITA et al.	1971	800 ~ 1 000	"	"	Silica tube, Water quenching	Kjeldahl	760	1600 ~ 1700	-941/T	-0.841	0.0454
40)	GUNJI, SUDO & ISHIKAWA	1973	100	"	"	Silica tube, Water quenching	Kjeldahl	760	1570 ~ 1650	-770/T	-0.942	0.0443
41)	MORITA & KUNISADA	1977	"	"	"	Silica tube, Water quenching	Kjeldahl	30 ~ 745	1600	-	-	0.0433
42)	KAWASAKI et al.	1979	100	"	"	Silica tube, Water quenching	Kjeldahl, P.	34 ~ 760	1580 ~ 1735	-518/T	-1.063	0.0457
43)	LEWIS & MCLEAN	1964	40	"	"	Silica tube, Water quenching	"					
	This study											

N.T. : Neutralization titration, P : Photometric method

た結果は  $1600^{\circ}\text{C}$  の窒素溶解度が  $0.044\sim0.046\% \text{N}$  の範囲に入り、間接法による値と一致している。これら本研究の検討結果<sup>11)16)18)</sup>を基に学振製鋼第19委員会は PEHLKE と ELLIOTT<sup>24)</sup>による測定結果を推奨値<sup>44)</sup>とした。しかしながら、 $1600^{\circ}\text{C}$  の窒素溶解度が比較的よく一致しても、温度依存性は各研究者間で必ずしも一致し

Table 8. Solubility of nitrogen in liquid Fe-O alloys.

1580°C				1580°C			
Heat No.	Cru.	[%O]	[%N]	Heat No.	Cru.	[%O]	[%N]
P-10	MgO	0.044	0.047 <sub>2</sub>	10-34	MgO	0.022	0.045 <sub>0</sub>
P-8	MgO	0.052	0.045 <sub>8</sub>	10-13	MgO	0.027	0.045 <sub>2</sub>
Q-10	MgO	0.055	0.047 <sub>1</sub>	10-33	MgO	0.030	0.046 <sub>3</sub>
P-12	MgO	0.058	0.046 <sub>3</sub>	10-12	MgO	0.038	0.047 <sub>2</sub>
Q-8	MgO	0.059	0.046 <sub>3</sub>	10-32	MgO	0.040	0.046 <sub>0</sub>
P-6	MgO	0.061	0.047 <sub>0</sub>	10-31	MgO	0.046	0.045 <sub>3</sub>
Q-12	MgO	0.064	0.046 <sub>4</sub>	9-304	MgO	0.057	0.045 <sub>5</sub>
P-15	MgO	0.069	0.046 <sub>0</sub>	9-303	MgO	0.070	0.047 <sub>2</sub>
Q-5	MgO	0.072	0.046 <sub>1</sub>	9-302	MgO	0.081	0.046 <sub>2</sub>
S-1	MgO	0.072	0.045 <sub>3</sub>	9-301	MgO	0.100	0.046 <sub>0</sub>
Q-15	MgO	0.076	0.045 <sub>7</sub>	10-64	Al <sub>2</sub> O <sub>3</sub>	0.062	0.045 <sub>7</sub>
R-12	MgO	0.077	0.047 <sub>0</sub>	10-63	Al <sub>2</sub> O <sub>3</sub>	0.063	0.046 <sub>3</sub>
P-4	MgO	0.081	0.047 <sub>8</sub>	10-41	Al <sub>2</sub> O <sub>3</sub>	0.063	0.044 <sub>5</sub>
Q-4	MgO	0.083	0.045 <sub>6</sub>	10-42	Al <sub>2</sub> O <sub>3</sub>	0.065	0.045 <sub>8</sub>
R-10	MgO	0.084	0.046 <sub>7</sub>	10-43	Al <sub>2</sub> O <sub>3</sub>	0.066	0.046 <sub>0</sub>
R-8	MgO	0.088	0.048 <sub>0</sub>	10-62	Al <sub>2</sub> O <sub>3</sub>	0.067	0.046 <sub>6</sub>
Q-3	MgO	0.101	0.045 <sub>1</sub>	10-61	Al <sub>2</sub> O <sub>3</sub>	0.068	0.046 <sub>4</sub>
R-6	MgO	0.101	0.048 <sub>1</sub>	6-14	CaO	0.021	0.045 <sub>5</sub>
R-16	MgO	0.102	0.045 <sub>2</sub>	6-13	CaO	0.026	0.045 <sub>8</sub>
P-2	MgO	0.104	0.046 <sub>2</sub>	6-12	CaO	0.033	0.046 <sub>2</sub>
A P-12	Al <sub>2</sub> O <sub>3</sub>	0.050	0.047 <sub>0</sub>	6-11	CaO	0.040	0.045 <sub>9</sub>
A P-4	Al <sub>2</sub> O <sub>3</sub>	0.060	0.046 <sub>5</sub>				
A P-8	Al <sub>2</sub> O <sub>3</sub>	0.062	0.046 <sub>9</sub>				
A P-4	Al <sub>2</sub> O <sub>3</sub>	0.078	0.045 <sub>3</sub>				

1630°C				1680°C			
Heat No.	Cru.	[%O]	[%N]	Heat No.	Cru.	[%O]	[%N]
10-84	MgO	0.066	0.047 <sub>1</sub>	5-222	MgO	0.045	0.047 <sub>1</sub>
10-83	MgO	0.094	0.047 <sub>9</sub>	5-221	MgO	0.056	0.048 <sub>6</sub>
10-74	MgO	0.100	0.046 <sub>5</sub>	5-194	MgO	0.081	0.047 <sub>5</sub>
10-73	MgO	0.105	0.047 <sub>7</sub>	5-193	MgO	0.088	0.047 <sub>5</sub>
10-82	MgO	0.105	0.048 <sub>1</sub>	5-192	MgO	0.101	0.049 <sub>0</sub>
10-72	MgO	0.112	0.046 <sub>5</sub>	5-191	MgO	0.149	0.048 <sub>3</sub>
10-71	MgO	0.121	0.048 <sub>3</sub>	5-162	Al <sub>2</sub> O <sub>3</sub>	0.113	0.047 <sub>4</sub>
10-81	MgO	0.123	0.048 <sub>1</sub>	5-154	Al <sub>2</sub> O <sub>3</sub>	0.115	0.047 <sub>2</sub>
4-132	Al <sub>2</sub> O <sub>3</sub>	0.098	0.045 <sub>7</sub>	5-163	Al <sub>2</sub> O <sub>3</sub>	0.117	0.047 <sub>7</sub>
4-131	Al <sub>2</sub> O <sub>3</sub>	0.106	0.046 <sub>5</sub>	5-153	Al <sub>2</sub> O <sub>3</sub>	0.118	0.049 <sub>1</sub>
				5-152	Al <sub>2</sub> O <sub>3</sub>	0.123	0.046 <sub>8</sub>
				5-161	Al <sub>2</sub> O <sub>3</sub>	0.125	0.049 <sub>8</sub>
				5-151	Al <sub>2</sub> O <sub>3</sub>	0.130	0.050 <sub>0</sub>

ていない。成田ら<sup>26)</sup>の結果を除き、SIEVERTS 法で水冷二重壁反応管を用いた測定結果は間接法の結果に較べ、いずれも温度依存性が小さい。中でも推奨値の温度依存性が特に小さいことは再検討すべきことを示唆していると考える。

#### 4.2 溶融鉄合金系の窒素溶解度

(1) Fe-N-O 系：本系では窒素気流中で試料を溶解し、 $\text{Fe}_2\text{O}_3$  を添加して  $1580^{\circ}\text{C}$  に保持し、2 h 間隔に 2~12 h の範囲で窒素溶解度を測定した。その結果<sup>11)</sup>、酸素濃度により 2~6 h ではほぼ平衡に達するが、測定値のばらつきが大きいため溶解時間を 6~12 h、 $1580^{\circ}\sim1680^{\circ}\text{C}$  の範囲で再測定<sup>45)</sup>した。測定結果を Table 8 と Fig. 5 に示す。再測定した値のばらつきも大きいが、溶鉄中の酸素は窒素溶解度をわずかに増加させる。また Table 9 に従来報告された値と比較して示す。

$$\log f_N^0 = -0.12[\% \text{O}] \quad < 0.12\% \text{O}$$

$$\ln r_N^0 = -7.2N_0 \quad < 0.005N_0$$

(2) Fe-N-S 系：硫黄は酸素と同様、界面活性元素であるので、まず 4~12 h に亘り 4 h 間隔で合金中の窒

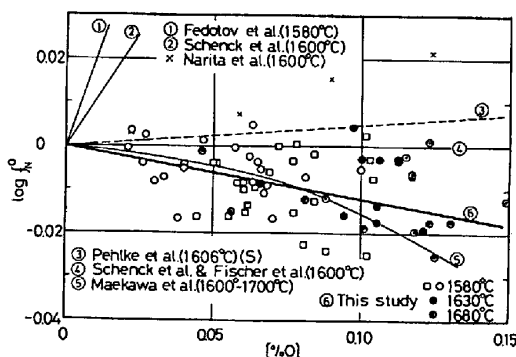


Fig. 5. Effect of oxygen on the activity coefficient of nitrogen in liquid iron. (S) : SIEVERTS' method.

Table 9. Interaction parameter of nitrogen in liquid iron alloys.

Element	Investigator	Ref.	$\epsilon_N^1$	$\epsilon_N^2$	Ranges
O	SCHENCK et al. SCHENCK et al. MAEKAWA & NAKAGAWA FEDOTOV & SAMARIN PEHLKE & ELLIOTT FISCHER & HOFFMANN NARITA & MAKINO WADA, GUNJI & WADA TAKANO e al. This study	46 8 47 9 24 32 26 48 49 —	1.0 0.0 -0.16 -0.19 0.05 0.0 0.147 -0.14 0.0 -0.12	66.6 0.71 -9.83 -11.8 4.01 0.71 10.4 -9.94 0.71 -7.2	0.12%O, 1600°C 1600°C 0.1%O, 1600°C~1650°C 0.14%O, 1600°C~1700°C 0.15%O, 1606°C, (S) 1600°C 0.21%O, 1600°C, (S) 0.20%O, 1900°C, (L) 0.33%O, 1750°C~2000°C, (L) 0.12%O, 1580°C~1680°C
S	SCHENCK et al. SCHENCK et al. NARITA & MAKINO This study	46 8 26 —	0.013 0.0 0.137 0.007	2.14 0.43 18.5 1.35	1.2%S, 1600°C 2.7%S, 1600°C 0.35%S, 1600°C (S) 4%S, 1580°C
Se	SCHENCK et al. This study	8 —	0.0 0.006	0.41 1.57	1.5%Se, 1600°C 4%Se, 1580°C
Te	This study	—	0.07	127.6	0.6%Te, 1580°C

(S) : SIEVERTS' method, (L) : Levitation melting

Table 10. Solubility of nitrogen in liquid Fe-S alloys.

1580°C			1580°C		
Heat No.	[% S]	[% N]	Heat No.	[% S]	[% N]
N S 302	0.50	0.044 <sub>5</sub>	N S 272	2.35	0.043 <sub>4</sub>
N S 301	0.54	0.045 <sub>1</sub>	N S 271	2.53	0.043 <sub>1</sub>
N S 242	0.88	0.044 <sub>2</sub>	*N S 9	2.65	0.043 <sub>4</sub>
N S 241	0.98	0.044 <sub>0</sub>	*N S 8	2.77	0.043 <sub>2</sub>
N S 1	1.05	0.044 <sub>8</sub>	N S 3	3.14	0.042 <sub>6</sub>
*N S 283	1.41	0.044 <sub>9</sub>	*N S 277	3.32	0.043 <sub>7</sub>
*N S 282	1.45	0.044 <sub>7</sub>	*N S 276	3.34	0.043 <sub>7</sub>
*N S 281	1.65	0.044 <sub>5</sub>	*N S 275	3.47	0.043 <sub>8</sub>
N S 7	1.67	0.043 <sub>6</sub>	N S 6	3.86	0.042 <sub>4</sub>
*N S 291	1.68	0.043 <sub>4</sub>	*N S 4	3.92	0.042 <sub>2</sub>
*N S 292	1.73	0.044 <sub>4</sub>	*N S 5	3.92	0.042 <sub>5</sub>
*N S 293	1.74	0.044 <sub>3</sub>	N S 285	4.32	0.041 <sub>8</sub>
*N S 2	1.90	0.044 <sub>1</sub>			

\* FeS was added to liquid iron saturated with nitrogen

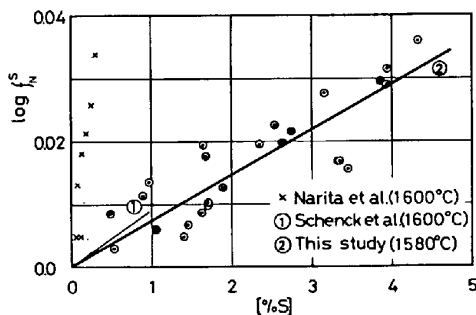


Fig. 6. Effect of sulphur on the activity coefficient of nitrogen in liquid iron at 1580°C.

Table 11. Solubility of nitrogen in Fe-Se alloys.

1580°C			1580°C		
Heat No.	[% Se]	[% N]	Heat No.	[% Se]	[% N]
NSe 274	0.30	0.045 <sub>5</sub>	NSe 101	2.45	0.044 <sub>7</sub>
NSe 272	0.37	0.044 <sub>5</sub>	*NSe 10	2.46	0.044 <sub>6</sub>
NSe 271	0.43	0.045 <sub>5</sub>	*NSe 141	2.66	0.043 <sub>6</sub>
NSe 1	0.73	0.044 <sub>7</sub>	NSe 4	2.86	0.043 <sub>7</sub>
*NSe 3	0.80	0.045 <sub>0</sub>	NSe 8	3.07	0.044 <sub>0</sub>
NSe 293	1.13	0.044 <sub>2</sub>	*NSe 9	3.16	0.043 <sub>2</sub>
NSe 292	1.32	0.044 <sub>3</sub>	NSe 113	3.22	0.043 <sub>3</sub>
NSe 291	1.44	0.043 <sub>8</sub>	NSe 112	3.26	0.043 <sub>3</sub>
NSe 5	1.83	0.044 <sub>3</sub>	NSe 111	3.35	0.043 <sub>5</sub>
*NSe 7	2.32	0.043 <sub>8</sub>	NSe 143	3.76	0.043 <sub>0</sub>
*NSe 6	2.36	0.044 <sub>0</sub>	NSe 142	4.04	0.043 <sub>4</sub>

\* Se was added to liquid iron saturated with nitrogen

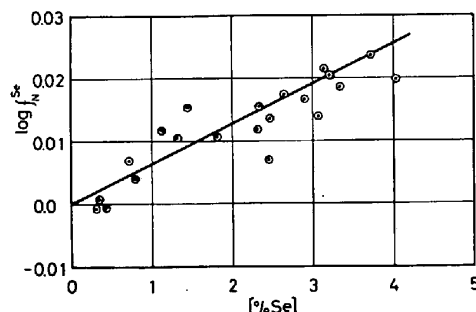


Fig. 7. Effect of selenium on the activity coefficient of nitrogen in liquid iron at 1580°C.

素溶解度を測定した<sup>50)</sup>。その結果、本系では4 hで十分平衡に達していたので、次に溶解時間を4 hとしてFe-

Table 12. Solubility of nitrogen in Fe-Te alloys.

1580°C			1580°C		
Heat No.	[% Te]	[% N]	Heat No.	[% Te]	[% N]
NTe 123	0.007	0.045 <sub>3</sub>	*NTe 121	0.05 <sub>5</sub>	0.045 <sub>5</sub>
NTe 82	0.008	0.045 <sub>5</sub>	NTe 14	0.05 <sub>8</sub>	0.044 <sub>9</sub>
*NTe 93	0.008	0.045 <sub>2</sub>	NTe 133	0.06 <sub>2</sub>	0.045 <sub>4</sub>
NTe 103	0.008	0.045 <sub>4</sub>	*NTe 122	0.07 <sub>2</sub>	0.044 <sub>6</sub>
NTe 112	0.008	0.045 <sub>2</sub>	NTe 24	0.08 <sub>5</sub>	0.044 <sub>9</sub>
NTe 113	0.008	0.044 <sub>9</sub>	NTe 131	0.12 <sub>3</sub>	0.044 <sub>9</sub>
NTe 83	0.009	0.045 <sub>2</sub>	*NTe 13	0.13 <sub>3</sub>	0.044 <sub>3</sub>
NTe 81	0.012	0.043 <sub>3</sub>	*NTe 12	0.37 <sub>0</sub>	0.043 <sub>4</sub>
NTe 132	0.023	0.043 <sub>3</sub>	*NTe 22	0.55 <sub>9</sub>	0.041 <sub>4</sub>
NTe 111	0.054	0.044 <sub>7</sub>			

\* Te was added to liquid iron saturated with nitrogen

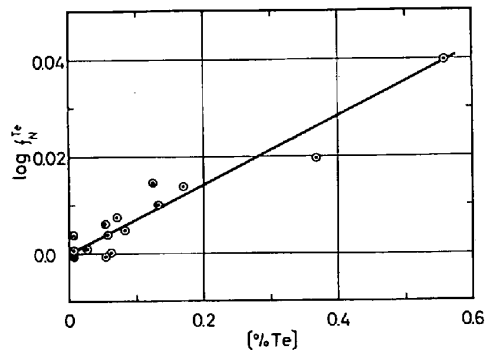


Fig. 8. Effect of tellurium on the activity coefficient of nitrogen in liquid iron at 1580°C.

S系を測定し、測定結果を再確認した。Table 10 および Fig. 6 に示すように、硫黄は窒素溶解度をわずかに減少させる。

$$\log f_N^S = 0.007 [\% S]$$

$$\ln r_N^S = 1.3 N_S$$

<4% S

<0.06 N<sub>S</sub>

従来の研究結果を Table 9 に比較した。成田ら<sup>26)</sup>は SIEVERTS 法で測定し、 $d \log f_N / d [\% S] = e_N^S = 0.137$ を得ている。このような値を得た原因は、溶鉄または FeS合金中の酸素が硫黄と反応してガスを生成し、見掛け上、窒素吸収量が著しく減少したためと推論される。

(3) Fe-N-Se 系：本系についても溶解時間を4, 8, 12 h で窒素溶解度を測定した<sup>50)</sup>。Se は蒸気圧の高い元素であるが、溶鉄中の Se の蒸発減少は僅かであり Fe-Se 系は4 h で平衡に達しているので、溶解時間を4 h にして本系の測定を繰返した。測定結果を Table 11 および Fig. 7 に示すが、Se は溶鉄の窒素溶解度をわずかに減少させ、その割合は硫黄の場合と同程度である。

$$\log f_N^S = 0.006 [\% Se]$$

$$\ln r_N^S = 1.6 N_{Se}$$

<4% Se

<0.028 N<sub>Se</sub>

(4) Fe-N-Te 系：Te は Se と同様に蒸気圧の高い元素であるが、溶鉄中の Te は Se と異なり 6~12 h の溶解で大部分が蒸発して 0.2% 以下になる。したがつて、Te 添加後、30 min 間隔で 6 h に亘り見掛け

の平衡到達時間を検討した結果、3 h でほぼ見掛けの平衡に達することがわかつた。測定中、ほぼ平衡に達していると思われる値を Table 12 と Fig. 8 に示す。測定が困難なため大部分が 0.2%Te 以下であり、Te 蒸気の影響も考えられるが、Te は窒素溶解度を減少させる。

## 5. 結 言

ガス溶解度測定に採用される SIEVERTS 法と間接法について、溶鉄の窒素溶解度を測定することにより、測定上の問題点を検討した。それぞれ改良した結果、両測定法による 1600°C の窒素溶解度はよく一致したが、温度依存性を考慮すると間接法による測定が望ましく、その結果を次に示す。

$$\log K = -518/T - 1.063 \pm 0.0004$$

$$\Delta G^\circ = 2370 + 4.85T \pm 0.002T$$

また、その間接法により溶鉄の窒素溶解度におよぼす VIa 族元素の影響を求め、Table 9 に示す結果を得た。

終わりに、当時、学部学生として研究遂行に協力された大同特殊鋼・吉田浩二修士および川崎製鉄・安野元造学士に深く感謝します。

## 文 献

- 1) J. C. VAUGHAN and J. CHIPMAN: Trans. Met. Soc. AIME, 140 (1940), p. 224
- 2) 斎藤恒三: Sci. Rep. RITU, A-1 (1949), p. 411, 日本金属学会誌, B-14 (1950), p. 28, 東北大学選研彙報, 5 (1949), p. 33
- 3) V. KASHYAP and N. PARLEE: Trans. Met. Soc. AIME, 212 (1958), p. 86
- 4) T. BUSCH and R. A. DODD: 同上, 218 (1960), p. 488
- 5) T. KOOTZ: Arch. Eisenhüttenw., 15 (1941), p. 77
- 6) H. WENTRUP and O. REIF: 同上, 20 (1949), p. 359
- 7) 笠松 裕, 的場幸雄: 鉄と鋼, 45(1959), p. 100
- 8) H. SCHENCK, M. G. FROHBERG, and H. GRAF: Arch. Eisenhüttenw., 30 (1959), p. 533
- 9) V. P. FEDOTOV and A. M. SAMARIN: Doklady Akad. Nauk, SSSR., 122 (1958), p. 597
- 10) 野崎洋彦, 萬谷志郎, 不破 祐, 的場幸雄, 小野健二: 鉄と鋼, 49(1963), p. 1450, 50(1964), p. 468
- 11) 不破 祐, 萬谷志郎, 石井不二夫: 学振 19 委-No. 7686 (昭和39年12月)
- 12) R. D. PEHLKE and J. F. ELLIOTT: Trans. Met. Soc. AIME, 277 (1963), p. 844
- 13) 長 隆郎, 井上道雄: 鉄と鋼, 53(1967), p. 1393, 54(1968), p. 19
- 14) 萬谷志郎, 篠原忠広, 戸崎秀男, 不破 祐: 鉄と鋼, 60(1974), p. 1443
- 15) 石井不二夫, 萬谷志郎, 不破 祐: 鉄と鋼, 60 (1974), S52
- 16) 不破 祐, 萬谷志郎, 石井不二夫: 学振 19 委-No. 8032 (昭和41年2月)
- 17) 理化学辞典(玉虫文一ら編) (1971) [岩波書店]
- 18) 不破 祐, 萬谷志郎, 石井不二夫: 学振 19 委-No. 8127 (昭和41年5月)
- 19) 石井不二夫, 不破 祐: 学振 19 委-No. 9097 (昭和45年5月)
- 20) A. SIEVERTS and G. ZAPF: Z. Phys. Chem., A172 (1935), p. 314
- 21) M. M. KARNAUKHOV and A. N. MOROZOV: Bulk de Lacademie de Science de URSS, 6 (1947), p. 735, Brutcher Translation No. 2029
- 22) A. N. MOROZOV: 鋼中の水素と窒素 (1968 年度版) [日ソ通信社]
- 23) J. C. HUMBERT and J. F. ELLIOTT: Trans. Met. Soc. AIME, 218 (1960), p. 1076
- 24) R. D. PEHLKE and J. F. ELLIOTT: 同上, 218 (1960), p. 1088
- 25) P. H. TURNOCK and R. D. PEHLKE: 同上, 236 (1966), p. 1540
- 26) 成田貴一, 牧野武久: 神戸製鋼所, 研究報告, 中研第 2087 号 (1968)
- 27) Yu. N. SUROVOY, G. N. OKOROKOV, and S. A. NEFYDOVA: The 3rd Japan-USSR Joint Symp. on Phys. Chem. of Met. Process., (1971), p. 67
- 28) J. CHIPMAN and D. W. MURPHY: Trans. Met. Soc. AIME, 116 (1935), p. 179
- 29) L. EKLUND: Jernkont. Ann., 123 (1935), p. 545
- 30) R. M. BRICK and J. A. CREEVY: Metals Tech., 7 (1940), Tech. Pub., No. 1165
- 31) 佐野幸吉, 裕輪 晋: 日本金属学会誌, 21 (1957), p. 569
- 32) W. A. FISCHER and A. HOFFMANN: Arch. Eisenhüttenw., 31 (1960), p. 215
- 33) 前川静弥, 中川義隆: 鉄と鋼, 46(1960), p. 748
- 34) S. Z. BEER: Trans. Met. Soc. AIME, 221 (1961), p. 2
- 35) R. A. DODD and N. A. GOKCEN: 同上, 221 (1961), p. 233
- 36) H. SCHENCK, M. G. FROHBERG, and H. HEINEMANN: Arch. Eisenhüttenw., 33 (1962), p. 593
- 37) 足立 彰, 森田善一郎, 和田 淳: 学振 19 委-No. 8134 (昭和41年5月)
- 38) D. W. GOMERSALL, A. MCLEAN, and R. G. WARD: Trans. Met. Soc. AIME, 242 (1968), p. 1309
- 39) 森田善一郎, 蜂須賀邦男, 岩永祐治, 足立 彰: 日本金属学会誌, 35 (1971), p. 831
- 40) K. GUNJI, K. SUDŌ, and E. ISHIKAWA: The 4th Japan-USSR Joint Sym. on Phys. Chem. of Met. Process., (1973), p. 185
- 41) 森田善一郎, 国定京治: 鉄と鋼, 63(1977), p. 1663
- 42) 川崎正之, 德田昌則, 大谷正康: 東北大学選研彙報, 35(1979), p. 99
- 43) K. G. LEWIS and A. MCLEAN: Canadian Met. Quart., 18 (1979), p. 333
- 44) 学振製鋼第 19 委員会: 製鋼反応の推奨平衡値,

- p. 157 (1968年度版) [日刊工業新聞社]
- 45) 石井不二夫, 不破 祐: 学振 19 委-No. 8843  
(昭和43年12月)
- 46) H. SCHENCK, M. G. FROHBERG, and H. GRAF:  
Arch. Eisenhüttenw., 29 (1958), p. 673
- 47) 前川静弥, 中川義隆: 鉄と鋼, 46(1960), p.1438
- 48) 和田春枝, 郡司好喜, 和田次康: 日本金属学会誌  
32 (1968), p. 831
- 49) 高野勝利, 今村元昭, 斎藤恒三: 東北大学還研報  
報, 27 (1971), p. 139
- 50) 不祐 研, 萬谷志郎, 石井不二夫: 学振 19 委-  
No. 7838 (昭和40年5月)